

- [3] Алфёров Ж.И., Антонишикис Н.Ю., Арсентьев И.Н., Гарбузов Д.З., Колышкин В.И., Налет Т.А., Стругов Н.А., Тикунов А.В. // ФТП. 1988. Т. 22. В. 6. С. 1031-1034.
- [4] Гарбузов Д.З., Тикунов А.В., Жигулин С.Н., Соколова З.Н., Халфин В.Б. // ФТП. 1988. Т. 22. В. 6. С. 1035-1039.

Физико-технический
институт им. А.Ф. Иоффе
АН СССР

Поступило в Редакцию
10 мая 1989 г.

Письма в ЖТФ, том 15, вып. 15 12 августа 1989 г.

06.3; 07

НИЗКОПОРОГОВЫЕ ЛАЗЕРЫ 3-3.5 мкм НА ОСНОВЕ ДГС $InAsSbP/In_{1-x}Ga_xAs_{1-y}Sby$

М. Айдаралиев, Н.В. Зотова,
С.А. Карапашев, Б.А. Матвеев,
Н.М. Стусь, Г.Н. Талалакин

Полупроводниковые лазеры в области 3-4 мкм вызывают в настоящее время повышенный интерес в связи с перспективой их применения в оптических линиях связи, газоаналитической аппаратуре и др.

В работе [1] сообщалось о получении низкопорогового стимулированного излучения $\lambda = 3$ мкм в ДГС $p-InAsSbP(n-InAs)$, $p-InAsSbP$, полученных методом жидкофазной эпитаксии (ЖФЭ) на подложках $InAs$ (111)А. Интерес к дальнейшему исследованию этой структуры вызван, во-первых, тем, что на ней впервые была получена непрерывная генерация $\lambda = 3.1$ мкм (77 К), во-вторых, возможностью получения более длинноволнового излучения при добавлении в активную область атомов сурьмы [2] и галлия [3].

Исследовались структуры, в которых активная область состояла из нелегированных слоев $n-InAs$, $n-InAs_{0.93}Sb_{0.07}$, $n-In_{0.98}Ga_{0.02}As$, $n-In_{0.93}Ga_{0.07}As_{0.935}Sb_{0.065}$. Ограничивающие широкозонные слои $p-InAs_{1-x-y}Sb_xP_y$ ($0.05 \leq x \leq 0.062$; $0.10 \leq y \leq 0.19$) с толщинами 3-5 мкм имели меньший, чем у активного слоя, показатель преломления ($A_p = 0.02-0.05$).

В таблице приведены значения длины волны излучения, величины импульсного порогового тока ($\tau = 5$ мкс, $f = 500$ Гц) для лазеров с широким контактом (250×300 мкм²) и результаты рентгенотопографических измерений, которые для большинства

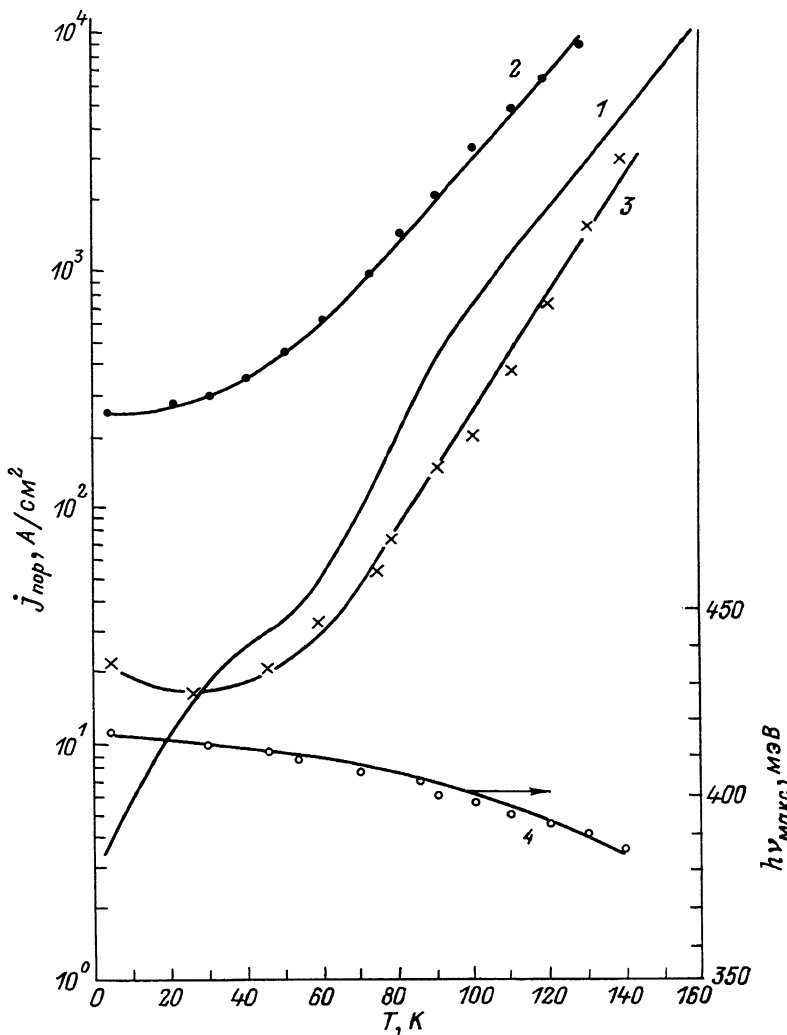
№№	Состав $In_{1-x}Ga_xAs_{1-y}Sby$		Наличие ДН	λ (77 К) мкм	I пор (77 К)	
	x	y			имп. реж.	непр. реж.
	мол.доля	мол.доля			A/cm^2	A/cm^2
36(1)	0	0	есть	3.06	64	103
37(1)	0	0	есть	3.08–3.10	72	100
37(2)	0	0	есть	3.05–3.07	76	120
23(2)	0	0	нет	3.05	140	-
38(1)	0	0	нет	3.07	70	116
40(1)	0.012	0	есть	3.04	100	-
41(2)	0.02	0	есть	3.04	310	-
56(1)	0	0.07	-	3.55	117	-
56(2)	0	0.07	-	3.55	87	130
60(1)	0.07	0.065	-	3.23	39	60
60(2)	0.065	0.065	-	3.29	60	-

образцов показали наличие сетки 60-градусных дислокаций несоответствия (ДН). Видно отсутствие корреляции между фактом наличия ДН и величиной порогового тока. Причиной этого может быть различное местоположение сеток ДН в исследованных структурах, а также различие в величине деформации активного слоя и неодинаковое ее влияние на рекомбинационные свойства материала, содержащего ДН [4].

В работе [5] было показано, что для узкозонных твердых растворов соединений A_3B_5 в режиме лазерного возбуждения с $\lambda > \geq 2.5$ мкм основным механизмом безизлучательной рекомбинации является СНСС-процесс, когда два электрона в зоне проводимости взаимодействуют с одной дыркой из тяжелой валентной зоны, оставляя электрон с высокой энергией в зоне проводимости. В рамках этого предположения в работе [6] была подсчитана температурная зависимость порогового тока ДГС-лазера $InAsSbP/InAs$ и приведены экспериментальные значения (см. рисунок). Экспериментальные точки лежат значительно выше расчетной кривой, особенно в области низких температур ($T \leq 60$ К). Наши экспериментальные данные значительно ближе к теоретическим значениям и практически повторяют ход расчетной температурной зависимости порогового тока. На этом рисунке приведена температурная зависимость энергии кванта лазерного излучения, которая совпадает с температурным изменением ширины запрещенной зоны в арсениде индия.

С целью получения более длинноволнового излучения нами были созданы ДГС с активным слоем из твердого раствора $n-InAs_{0.93}Sb_{0.07}$, которые имели перепад E_g на гетерогранице ~ 130 мэВ, толщину активного слоя – 3 мкм, эмиттерного слоя $InAsSbP$ – 4 мкм.

В лазерах на основе этих ДГС нами наблюдалось стимулированное излучение 3.55 мкм при 77 К – наиболее длинноволновое в



Температурные зависимости пороговой плотности тока (1, 2, 3) и энергии кванта лазерного излучения (4) для ДГС $InAsSbP/n-InAs_{5.1}$ – теория [6], 2 – эксперимент [6], 3 – экспериментальные значения данной работы.

настоящее время для подобных структур из A^3B^5 . Величина порогового тока составляла $86 \text{ A}/\text{cm}^2$. Лазерные осцилляции наблюдались до 140 K ; характеристическая температура порогового тока $T_p = 17 \text{ K}$. Достигнут непрерывный режим генерации при пороговой плотности тока $130 \text{ A}/\text{cm}^2$ при 77 K .

Для лазеров на основе ДГС с активным слоем из четверного твердого раствора $In_{1-x}Ga_xAs_{1-y}Sb_y$ ($x = 0.07$, $y = 0.065$)

было получено стимулированное излучение в интервале температур 4.2–160 К ($T_0 = 22.6$ К). Длина волны излучения при 77 К и импульсном режиме питания составляла 3.23 мкм, пороговый ток – 39 А/см². Достигнут непрерывный режим генерации при пороговой плотности тока 60 А/см² (77 К).

Таким образом, в работе показано, что использование ДГС $InAsSbP/In_{1-x}Ga_xAs_{1-y}Sby$ ($x \leq 0$, $y \leq 0.07$) позволяет создать низкопороговые лазеры во всем интервале длин волн от 3.05 до 3.55 мкм.

Список литературы

- [1] Айдаралиев М.Ш., Зотова Н.В., Карадашев С.А., Матвеев Б.А., Стусь Н.М., Талалакин Г.Н. // Письма в ЖТФ. 1988. Т. 14. № 17. С. 1617–1620.
- [2] Mani H., Joullié A., Boissière G., Tournié E. et al. // Electron. Lett. 1988. V. 24. N 25. P. 1542–1543.
- [3] Horikoshi Y., Kobayashi N. Jap. pat. n 567-41833.
- [4] Матвеев Б.А., Петров В.И., Стусь Н.М., Талалакин Г.Н., Шабалин А.В. // ФТП. 1988. Т. 22. № 7. С. 1244–1247.
- [5] Sugimura A. // IEEE J. Quantum Electron. 1982. QE-18. P. 352.
- [6] Horikoshi Y. // Semicond. and Semimetals. Academic Press, New York. 1985. V. 22. P. 93–147.

Физико-технический
институт им. А.Ф. Иоффе
АН СССР, Ленинград

Поступило в Редакцию
18 апреля 1989 г.

Письма в ЖТФ, том 15, вып. 15

12 августа 1989 г.

06.3

ИЗГИБНЫЕ ПОТЕРИ ПОЛЫХ МЕТАЛЛИЧЕСКИХ ВОЛНОВОДОВ СРЕДНЕГО ИК-ДИАПАЗОНА

С.В. Азизбекян, В.Г. Артюшенко,
К.И. Калайджян, М.М. Миракян,
И.Л. Пыльнов

В работах [1–3.5] было показано, что проблема передачи мощного излучения СО и СО₂ лазеров в лазерных установках медицинского и технологического профиля может быть решена с помощью